多研究 # 报 \$

## 无机微孔晶体 $AIPO_4$ - $CJ_1$ 合成与性能研究 I.

## 于龙 龙文琴

(吉林大学合成与催化研究所,长春 130023)

美體词: 合成 孔 无机晶体

自从八十年代美国 UCC 首次合成出作硅铝酸盐的 AIPO<sub>4</sub>-n 系列分子筛以来 <sup>(1)</sup> ,由于其特殊的骨架结构和物化性质,引起人们的广泛重视 <sup>(2)</sup> 。我们用乙二胺基乙醇作模板剂合成出 AIPO<sub>4</sub>-CJ<sub>1</sub>。经多晶 X 射线衍射,红外光谱及扫描电镜等结构表征,证明其为纯的,新型无机微孔晶体,吸附实验证明其具有 4 X 的孔道。

AIPO<sub>4</sub>-CJ<sub>1</sub> 的制备:反应物摩尔配比: 1.0Al<sub>2</sub>O<sub>3</sub>:1.0F<sub>2</sub>O<sub>5</sub>:(1.0-1.8)。二二胺基乙醇: (90-120) H<sub>2</sub>O。以铝源[硫酸铝水溶液(含 Al<sub>2</sub>O<sub>3</sub> 7.04%)]; 磷源 (磷酸铵); 有机胺; 水的次序逐一混合各原料,强烈搅拌,均匀成胶后,装入有聚四氟乙烯釜衬的不锈钢釜中。于 190℃晶化 24-40 小时,产物经水洗,过滤,于空气中 90℃干燥。

多請 X 射线衍射数据见表 1。与先前报道的磷酸铝分子筛相比较,AIPO₄-CJ<sub>1</sub>为新型晶相 <sup>(3,4)</sup>。

扫描电镜上获得的合成样品的晶体形貌(图1)。可看出合成样品是形状单一的晶体、晶体完整、干净、无伴生相、亦证明 AIPO<sub>4</sub>-CJ,为新晶相。

表 1 X 射线多晶衍射数据

Table 1 X-ray Diffraction Data 25 Ī/ I<sub>0</sub> 2∂ I / Io 2θ I / I0 11.46 7.72 39 23.33 30.10 2.97 3.81 13 12.97 32 23.59 3.77 13 31.29 2.86 10 6.83 14.80 2.81 5.99 100 25.15 3.54 13 31.79 59 25 3.37 10 33.8€ 41 18.80 4.72 26.45 2.65 20.57 4.32 13 27.85 3.20 61 33.94 2.64 29 21.00 4.23 29.30 3.05 19 35.47 2.53 16 2.99 21.69 4.10 29.80 16

以 EDTA-铜盐配位滴定法测铝,以磷钼酸铵沉淀中和法测磷,热重法测有机胺,得到样品组成为: 32.83% Al<sub>2</sub>O<sub>3</sub>; 47.54% P<sub>2</sub>O<sub>5</sub>; 19.48%乙二胺基乙醇; 4.61%水。

采用 KBr 压片法,测得 AIPO<sub>4</sub>-CJ<sub>1</sub> 的红外光谱(图 2)。灼烧前样品的红外光谱较复杂。 经 200℃ 焙烧后,样品的红外光谱变得简单,呈现明显的 TO<sub>4</sub> 四面体振动特征。其中 1000-1250cm<sup>-1</sup> 是四面体 (内部和外部) 反对称伸缩振动。400-500cm<sup>-1</sup> 吸收峰是四面体内部 T-O 弯曲振动。而 500-600cm<sup>-1</sup> 之间的吸收峰则是分子筛的环振动。因此证明 AIPO<sub>4</sub>-CJ<sub>1</sub> 其 有由 TO<sub>4</sub> 四面体构成的骨架。

本文于1989年7月19日收到。

AIPO、-CJ、对水、甲醇、苯和环己烷的吸附等温线见图 3 和图 4. 对水和甲醇的吸附量较大、是典型的 I 型 Langmuir 等温线。对苯和环已烷的吸附量较小、可以认为样品具有微孔结构、孔口为 4 Å。



图 1 晶体形貌

Fig.1 Shape of crystal



图 2 样品红外光谱

Fig.2 IR spectra of sample

A: precursors

B: after calcination at 200°C

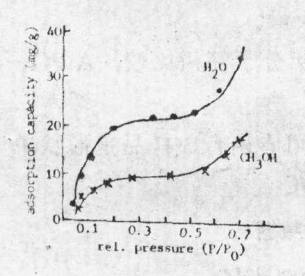


图 3 水和甲醇吸附等温线

Fig.3 Adsorption isotherm for water and methylalcohol(20°C)

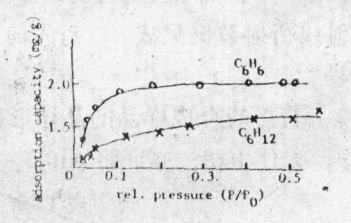


图 4 苯和环已烷吸附等温线

·Fig.4 Adsorption isotherm for benzene and cyclohexane(20°C)

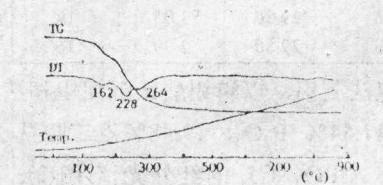


图 5 样品 TG-DTA 曲线

Fig.5 TG-DTA curve of sample

由图 5 中可得出:样品在 162℃左右脱除孔道内的水,在 228℃左右脱除有机模板剂。在 264℃伴随有机胺的进一步脱除,而产生相转变。

AIPO<sub>4</sub>-CJ<sub>1</sub> 是一种新型无机微孔晶体,具有 TO<sub>4</sub> 四面体构成的骨架结构,其微孔孔径为 4 入。

## 参考文献

- (1) Wilson, S.T., Lok, B.M., Flanigen, E.M., U.S. Pat., 4,310,440(1982).
- (2) Wilson, S.T., Lok, B.M., Messina, C.A. et al., J. Am. Chem. Soc., 101, 1146(1982).
- (3) Wilson, S.T., Lok, B.M., Flarigen, E.M., European Patent, 43,562(1982).
- (4) Wilson, S.T., Lok, B.M., Messina, C.A., Cannan, T.R., Flanigen, E.M., ACS Symposium Serues, No.218 (Intrazeolite Chemistry), 79(1983).

## STUDY ON THE SYNTHESIS AND PROPERTIES OF INORGANIC MICROPOROUS CRYSTAL AIPO<sub>4</sub>-CJ<sub>1</sub>

Yu Long Pang Wenqin

(Institute of Synthesis and Catalysis, Jilin University, Changchun 130023)

In this paper, we have synthesized inorganic microporous crystal AlPO<sub>4</sub>-CJ<sub>1</sub> by hydrothermal crystallization from Al<sub>2</sub>O<sub>3</sub>-P<sub>2</sub>O<sub>5</sub>-N, N-diethylanolamine-H<sub>2</sub>O system. We verified that it is new crystal and studied its infrared spectrum and got its shape by SEM. It is demonstrated that it has channel structure by measurement of DT-TG analysis and adsorption properties.

Keywords: synthesis pore inorganic crystal